La méthode de Newton en analyse numérique

J-P. CHEHAB1

¹LAMFA, UMR 7352, Université de Picardie Jules Verne, Amiens, France (jean-paul.chehab@u-picardie.fr)

Journée Mathématique d'Amiens, le 25 juin 2014

- Motivation
 - Babyloniens
 - Méthode de type corde
- Isaac Newton, sa méthode
 - Motivation
 - Sécante
- Newton-Raphson
 - Newton inexacte
 - Quasi Newton
 - Méthode de type sécante
 - Méthodes de Broyden
- 4 Newton et dynamique
 - Flot de Newton
 - Optimisation continue
- Quelques applications
 - Fonctions de matrices
 - Equations différentielles
- 6 Conclusion



La résolution numérique d'une équation non linéaire en particulier la recherche de racines

$$F(x) = 0$$
 ou en termes de point fixe $G(x) = x$

a toujours occupé les mathématiciens. D'abord dédiées au calcul de racines de polynômes, les algorithmes numériques se sont adressés par la suite à la résolution numérique de phénomènes naturels, décrits par des modèles non-linéaires (météo, mécanique des fluides, chimie, ...)

La résolution numérique d'une équation non linéaire en particulier la recherche de racines

$$F(x) = 0$$
 ou en termes de point fixe $G(x) = x$

a toujours occupé les mathématiciens. D'abord dédiées au calcul de racines de polynômes, les algorithmes numériques se sont adressés par la suite à la résolution numérique de phénomènes naturels, décrits par des modèles non-linéaires (météo, mécanique des fluides, chimie, ...)

- Discrétisation (temps, espace) produit une suite de systèmes non linéaires de grande dimension
- La résolution de chaque système se doit d'être efficace (rapide, fiable), les méthodes utilisées sont en général de type (quasi)-Newton, point fixe, optimisation non monotone ...

La résolution numérique d'une équation non linéaire en particulier la recherche de racines

$$F(x) = 0$$
 ou en termes de point fixe $G(x) = x$

a toujours occupé les mathématiciens. D'abord dédiées au calcul de racines de polynômes, les algorithmes numériques se sont adressés par la suite à la résolution numérique de phénomènes naturels, décrits par des modèles non-linéaires (météo, mécanique des fluides, chimie, ...)

- Discrétisation (temps, espace) produit une suite de systèmes non linéaires de grande dimension
- La résolution de chaque système se doit d'être efficace (rapide, fiable), les méthodes utilisées sont en général de type (quasi)-Newton, point fixe, optimisation non monotone ...

La méthode de Newton occupe une place particulière : prototype de convergence superlinéaire et on la retrouve sous différentes formes dans de nombreux algorithmes numériques.

• Résoudre $F(x) = x^2 - a = 0$ par $x_{k+1} = \frac{1}{2} \left(x_k + \frac{a}{x_k} \right)$ géométriquement, cela revient à rendre carré des rectangles d'aire a (on les prend de côtés x_k et $\frac{a}{X_k}$ respectivement).

Conclusion

- Résoudre $F(x) = x^2 a = 0$ par $x_{k+1} = \frac{1}{2} \left(x_k + \frac{a}{x_k} \right)$ géométriquement, cela revient à rendre carré des rectangles d'aire a (on les prend de côtés x_k et $\frac{a}{x_k}$ respectivement).
- La suite converge vers \sqrt{a} pour tout $x_0 > 0$. Mieux : convergence très rapide (quadratique) au vois. de la limite, $|x_{k+1} \sqrt{a}| \le C |x_k \sqrt{a}|^2$

- Résoudre $F(x) = x^2 a = 0$ par $x_{k+1} = \frac{1}{2} \left(x_k + \frac{a}{x_k} \right)$ géométriquement, cela revient à rendre carré des rectangles d'aire a (on les prend de côtés x_k et $\frac{a}{x_k}$ respectivement).
- La suite converge vers \sqrt{a} pour tout $x_0 > 0$. Mieux : convergence très rapide (quadratique) au vois. de la limite, $|x_{k+1} \sqrt{a}| \le C |x_k \sqrt{a}|^2$
- IMPORTANT : la convergence est linéaire au début, quadratique ensuite

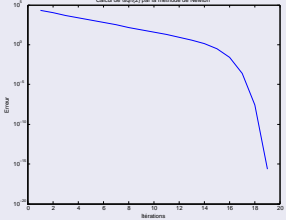


Figure : Historique de la convergence, algo babylonien

- Résoudre $F(x) = x^2 a = 0$ par $x_{k+1} = \frac{1}{2} \left(x_k + \frac{a}{x_k} \right)$ géométriquement, cela revient à rendre carré des rectangles d'aire a (on les prend de côtés x_k et $\frac{a}{x_k}$ respectivement).
- La suite converge vers \sqrt{a} pour tout $x_0 > 0$. Mieux : convergence très rapide (quadratique) au vois. de la limite, $|x_{k+1} \sqrt{a}| \le C |x_k \sqrt{a}|^2$
- IMPORTANT : la convergence est linéaire au début, quadratique ensuite

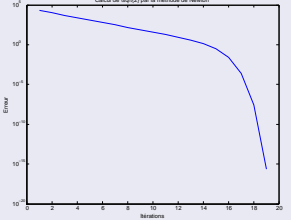


Figure : Historique de la convergence, algo babylonien

Intéressant : fournit des approximations fractionnaires. ⇒ Maths érables [>

Partons des itérations de Picard

équivalence des problèmes

$$f(x) = 0 \iff x = x - \alpha f(x), \alpha \neq 0$$

vers le bon design de la méthode

Méthode de la corde

$$x_{k+1} = x_k - \alpha f(x_k)$$

Méthode de la corde généralisée

$$x_{k+1} = x_k - \alpha_k f(x_k)$$

géométriquement : x_{k+1} abscisse intersection axe 0x avec droite de pente $\frac{1}{\alpha_k}$, passant par $(x_k, f(x_k))$.

Comment choisir α_k pour avoir de "bonnes" propriétés de convergence (en particulier un grande vitesse de convergence)



Definition

(Vitesse de convergence) Une suite $x^{(k)}$ converge vers ξ linéairement si

$$\exists C \in [0, 1[, \exists k_0 \in \mathbb{N} / \lim_{k \to +\infty} \frac{|x^{(k+1)} - \xi|}{|x^{(k)} - \xi|} \le C$$

Une suite $x^{(k)}$ converge vers ξ à l'ordre p > 1 si

$$\exists C > 0, \exists k_0 \in \mathbb{N} / \lim_{k \to +\infty} \frac{|x^{(k+1)} - \xi|}{|x^{(k)} - \xi|^p} \le C, \ \forall k \ge k_0$$

C est le facteur de convergence.

Point fixe et vitesse de convergence

Soit ξ point fixe isolé de f, de classe \mathcal{C}^{m+1} . on suppose que

$$f'(\xi)=\cdots=f^{(m)}(\xi)=0$$

Alors pour x_0 assez proche de ξ , la suite $x_{k+1} = f(x_k)$ converge vers ξ , à l'ordre m+1. On dit que f est la fonction d'itération



Figure: Portrait d'Isaac Newton



Figure: Portraits d'Isaac Newton par Marcel Gotlib

Méthode de Newton (1669), in The method of fluxions and infinite series

Conclusion

Initialisation
$$x_0$$
 donné

Pour
$$k = 0, \cdots$$

$$x^{(k+1)} = x^{(k)} - \frac{1}{f'(x^{(k)})} f(x^{(k)})$$

Theorem

Soit f une fonction de classe \mathcal{C}^2 sur un intervalle I. On suppose que f admet un unique zéro ξ dans I et que f' $(\xi) \neq 0$ alors il existe un réel $\eta > 0$ tel que si $x^{(0)} \in \Omega =]\xi - \eta, \xi + \eta[$

- La suite $x^{(k)}$ définie par $x^{(k+1)} = x^{(k)} \frac{f(x^{(k)})}{f'(x^{(k)})}$ reste dans Ω et converge vers ξ .
- La convergence est quadratique

⇒Mathématiques érables [>

⇒Mathématiques érables [>

Finalement la méthode de Newton est une méthode de point fixe qui consiste à fabriquer canoniquement fonction d'itération $x\mapsto x-\frac{f(x)}{f'(x)}$ assez plate au voisinage de la racine.

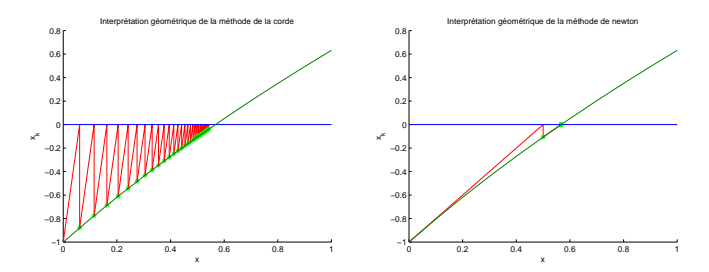


Figure : Méthode de la corde et de Newton

Le calcul d'une dérivée peut être compliqué et coûteux, en volumes de calculs.

Remplacer la dérivé par la sécante

$$f'(x^{(k)}) \simeq \frac{f(x^{(k)}) - f(x^{(k-1)})}{x^{(k)} - x^{(k-1)}}$$

on définit la méthode de la sécante comme suit

Méthode de la sécante

Initialisation x_0 et x_1 donnés Pour $k = 0, \cdots$

poser
$$x^{(k+1)} = x^{(k)} - \frac{x^{(k)} - x^{(k-1)}}{f(x^{(k)}) - f(x^{(k-1)})} f(x^{(k)})$$

Convergence locale superlinéaire, vitesse en nombre d'or $\phi=rac{1+\sqrt{5}}{2}$

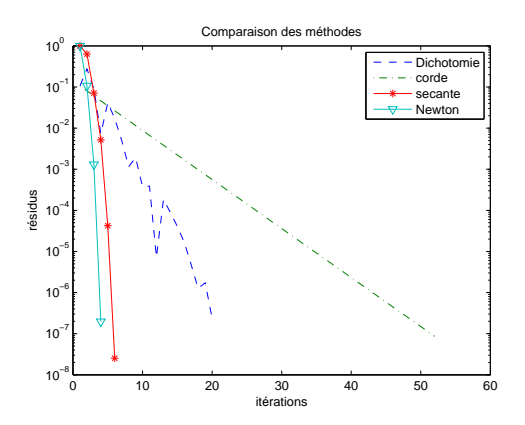


Figure : Méthodes de la corde, de dichotomie, de Newton et de la sécante

Soit $F: \mathbb{R}^n \to \mathbb{R}^n$. On cherche à approcher x^* , racine isolée de F.

$$F(x^*) = 0 = F(x + (x^* - x)) = F(x) + DF(x) \circ (x^* - x) + i(||x^* - x||)$$

où DF(x) désigne la matrice jacobienne de F prise en x. Si bien que

$$x^* \simeq x - DF(x)^{-1}F(x)$$

On peut alors définir les itérations par

$$x_{k+1} = x_k - DF(x_k)^{-1}F(x_k).$$

En pratique on décompose en deux parties :

- Résoudre le système linéaire $DF(x_k)\delta_k = F(x_k)$
- Poser $x_{k+1} = x_k \delta_k$.

Theorem

Version C^2 Soit $F: \mathbb{R}^n \to \mathbb{R}^n$, de classe C^2 . Soit x^* un zéro isolé de F, soit tel que

$$\exists B(x^*,r) \ / F(x^*) = 0 \ \text{et} \ F(x) \neq 0, \forall x \in B(x^*,r), x \neq x^*.$$

On suppose enfin que $DF(x^*)$ est inversible.

Alors, il existe une boule fermée $\mathcal B$ centrée en x^* telle que $\forall x_0 \in \mathcal B$, la suite x_k est bien définie, demeure dans $\mathcal B$ et converge vers x^* , le seul zéro de F dans $\mathcal B$. On a de plus

$$\parallel x_k - x^* \parallel \leq \beta^k \parallel x_0 - x^* \parallel$$

avec $\beta \in]0,1[$.



Version C^1 avec convexité

Lemma

Soit C_0 une région convexe de \mathbb{R}^n . On suppose que

- DF(x) existe pour tout x dans C_0
- II existe $\gamma > 0$ telle que

$$||DF(x) - DF(y)|| \le \gamma ||x - y||, \ \forall x, y \in C_0$$

Alors, pour tout x, yC_0 :

$$||F(x) - F(y) - DF(Y) \circ (x - y)|| \le \frac{\gamma}{2} ||x - y||^2$$

Theorem

Soit $C \subset \mathbb{R}^n$ ouvert et $F: C \to \mathbb{R}^n$, une fonction continue sur C, différentiable pour tout $x \in C_0$ convexe, avec $\bar{C}_0 \subseteq C$ On pose $B(x,r) = \{x/ || x - x_0 || < r\}$, $h = \alpha\beta\gamma < 1$, $r = \alpha1 - h$). On fait les hypothèses suivantes

- DF(x) est inversible
- DF est lipschitzienne de rapport L.
- $\| (DF(x_0))^{-1}F(x_0) \| \le \alpha$

Alors, il existe r > 0 tel que $\forall x^{(0)} \in B(x, r)$, la suite x_k reste dans la boule B(x, r) et converge vers x, à une vitesse quadratique :

$$||x_k - x|| \le \alpha \frac{h^{2^k - 1}}{1 - h^{2^k}}, \forall k \in \mathbb{N}.$$

La méthode de Newton-Raphson demande à chaque itération k de

- Calculer exactement la jacobienne $DF(x_k)$
- Résoudre un système linéaire avec $Df(x_k)\delta_k = F(x_k)$

Alléger Newton?

- En résolvant les systèmes $Df(x_k)\delta_k = F(x_k)$ de manière approchée -> Newton inexacte
- en remplaçant $DF(x_k)$ par un préconditionneur -> Quasi-Newton

Rappel : loin de la solution : convergence linéaire + calcul jacobienne et système linéaire associé coûteux

Newton inexacte

$$\begin{array}{ll} \text{pour } k=0,\cdots \\ \text{Déterminer } \delta_k \text{ tel que } & \|DF(x_k)\delta_k-F(x_k)\| \leq r_k\|F(x_k)\| \\ \text{Poser} & x_{k+1}=x_k-\delta_k \end{array}$$

Theorem

Convergence

- Si r_k est fixé, on obtient une convergence locale linéaire
- si $r_k \rightarrow 0$, on obtient une convergence locale superlinéaire
- si $r_k = \mathcal{O}(\|F(x_k)\|)$, on obtient une convergence locale quadratique.



Idée pratique : approcher $DF(x_k)$ par une matrice B_k plus facile à construire et telle que les systèmes linéaires associés se résolvent raisonnablement.

Quasi-Newton

pour $k = 0, \cdots$

Résoudre $B_k \delta_k = F(x_k)$

Poser $x_{k+1} = x_k - \delta_k$

Questions : conditions de convergence

Theorem

Dennis-Moré Soit $F: \mathbb{R}^n \to \mathbb{R}^n$, continue et différentiable sur D, ouvert, convexe, et x^* une racine de F. On suppose que DF(x) est continue en x^* et que $DF(x^*)$ est non singulière. Soit B_k une suite de matrices inversibles, on suppose que pour x_0 dans D, la suite $x_{k+1} = x_k - B^{-1}F(x_k)$ demeure dans D et converge vers x^* Alors x_k converge Q superlinéairement vers x^* si et seulement si

$$\lim_{k \to +\infty} \frac{\parallel (B_k - DF(x^*))(x_{k+1} - x_k) \parallel}{\parallel x_{k+1} - x_k \parallel} = 0.$$

Comment choisir les B_k ? Relations de type sécante

On pose
$$s_k = x_{k+1} - x_k$$
, $y_k = F(x_{k+1}) - F(x_k)$

Idée : construire B_k vérifiant une ou plusieurs relations de sécante

$$B(x_{k-1} - x_k) + F(x_k) = F(x_{k-1})$$

 $B(x_{k-2} - x_k) + F(x_k) = F(x_{k-2})$
...

Cela définit donc les relations

$$Bs_{k-j}=y_{k-j},\ j=1,\cdots,n$$

d'où

$$B = (y_{k-n} \cdots y_{k-1})(s_{k-n} \cdots s_{k-1})^{-1}$$

Problème : coûteux et instable. On se restreint à la première relation

$$B_k(x_k - x_{k-1}) = F(x_k) - F(x_{k-1})$$



Méthodes de type sécante avec B_k diagonale : $B_k = \alpha_k Id$

- $y = x_k x_{k-1}$ on obtient la méthode de Barzilai Borwein (Raydan)
- $y = F(x_k)$: méthode d'Altman (généralisations non linéaires de la plus profonde descente)

$$\alpha_k = -\frac{\langle \Delta^m x_{k-1}, y \rangle}{\langle \Delta^{m+1} x_{k-1}, y \rangle}$$

- **0** $m=1,\ y=\Delta^{m+1}x_{k-1}:$ méthode de Lemaréchal $(n=1\equiv$ Steffensen)
- **2** m=2 et $y=\Delta^{m+1}x_{k-1}$, généralisations de Marder Weitzner (Brezinski-C)

Theorem

L'unique matrice minimisant $\|B - B_k\|$ avec la contrainte $Bs_k = y_k$ est donnée par

$$B_{k+1} = B_k + \frac{y_k - B_k s_k}{(s_k)^t s_k} (s_k)^t$$

et l'algorithme de Broyden s'écrit

Résoudre
$$B_k \delta_k = F(x_k)$$

Poser
$$x_{k+1} = x_k - \delta_k$$

On peut définir par récurrence la suite des inverses de B_k

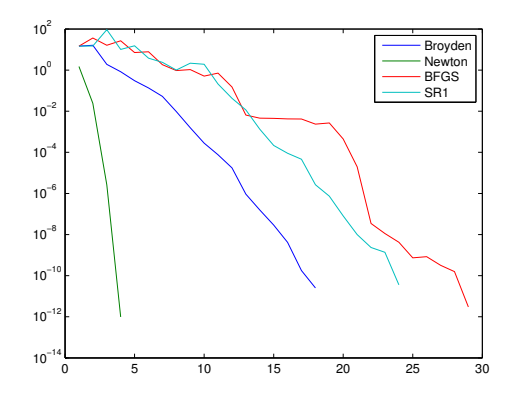
$$B_{k+1}^{-1} = B_k^{-1} + \frac{s_k - B_k^{-1} y_k}{(s_k)^t (B_k^{-1} y_k)} (s_k)^t B_k^{-1}$$

On obtient alors la "mauvaise" méthode de Broyden (bad Broyden), car instable numériquement.



Equation de Burgers visqueuse 1d

$$\begin{aligned} &-\nu\frac{\partial^2 u}{\partial x^2}+u\frac{\partial u}{\partial x}=f \quad x\in]0,1[\\ &u(0)=u(1)=0 \end{aligned}$$



Flot de gradient

$$\min_{x \in \mathbb{R}^n} F(x)$$
, avec $F : \mathbb{R}^n \to \mathbb{R}$

Conclusion

Relations d'optimalité du premier ordre (hyp différentiabilité) $\nabla F(x) = 0$. Les minima sont points critiques de

$$\frac{dx}{dt} = -\nabla F(x)$$

qui est un flot de gradient. On montre facilement que

$$\frac{dF(x)}{dt}$$
 + $\langle \nabla F, \nabla F \rangle = 0$

F(x) décroit donc le long des orbites.

flot préconditioné par $(\nabla^2 F(x))^{-1}$

$$\frac{dx}{dt} = -(\nabla^2 F(x))^{-1} \nabla F(x)$$

Conclusion

On montre facilement que

$$\frac{1}{2}\frac{d \parallel \nabla F(x) \parallel^2}{dt} + \parallel \nabla F(x) \parallel^2 = 0$$

du coup $\| \nabla F(x(t)) \| = e^{-t} \| \nabla F(x(0)) \|$.

Flot de gradient. Version discrète

Discrétisation par Euler explicite avec pas de temps variable

Conclusion

$$x_{k+1} = x_k - \Delta t_k \nabla F(x_k)$$

on retrouve toutes les méthodes de gradient à un pas. La propriété générique de stabilité assure que pour Δt_k assez petit, le schéma est stable.

Flot de gradient. Version discrète

Discrétisation par Euler explicite avec pas de temps variable

Conclusion

$$x_{k+1} = x_k - \Delta t_k \nabla F(x_k)$$

on retrouve toutes les méthodes de gradient à un pas. La propriété générique de stabilité assure que pour Δt_k assez petit, le schéma est stable.

flot préconditioné par $(\nabla^2 F(x))^{-1}$. Version discrète

Discrétisation par Euler explicite avec pas de temps variable

$$x_{k+1} = x_k - \Delta t_k (\nabla^2 F(x_k))^{-1} \nabla F(x_k)$$

et pour $\Delta t_k = 1$, on retombe sur Newton Raphson

$$x_{k+1} = x_k - (\nabla^2 F(x_k))^{-1} \nabla F(x_k)$$



Flot de Newton d'ordre 2 (H. Attouch et al, JMPA, 2002).

Conclusion

 $\Phi: H \to {\rm I\!R}$ de classe \mathcal{C}^2 , H, Hilbert réel

$$\ddot{x(t)} + \alpha \dot{x(t)} + \beta \nabla^2 \Phi(x(t)) \dot{x(t)} + \nabla \Phi(x(t)) = 0$$

Les trajectoires convergent vers un minimiseur de Φ , on peut générer par discrétisation des méthodes numériques adaptées. Etude via le système d'ordre 1 équivalent

$$\begin{cases} x(t) + c\nabla\Phi(x(t)) + ax(t) + by(t) = 0\\ y(t) + ax(t) + by(t) = 0 \end{cases}$$

Flot de Newton d'ordre 2 (H. Attouch et al, JMPA, 2002).

Conclusion

 $\Phi: H \to {\rm I\!R}$ de classe \mathcal{C}^2 , $\overset{\cdot}{H}$, Hilbert réel

$$\ddot{x(t)} + \alpha \dot{x(t)} + \beta \nabla^2 \Phi(x(t)) \dot{x(t)} + \nabla \Phi(x(t)) = 0$$

Les trajectoires convergent vers un minimiseur de Φ , on peut générer par discrétisation des méthodes numériques adaptées. Etude via le système d'ordre 1 équivalent

$$\begin{cases} x(t) + c\nabla\Phi(x(t)) + ax(t) + by(t) = 0\\ y(t) + ax(t) + by(t) = 0 \end{cases}$$

Etude des modèles continus qui président aux méthodes de résolution des systèmes linéaires (Bhaia-Kaszkurewicz, C-Laminie)

Méthode numérique avec préconditionnement implicite

Flot de Newton
$$\frac{dx}{dt} = -(\nabla F(x))^{-1} F(x)$$

Flot de Newton couplé
$$\frac{dx}{dt} = -z$$

$$(\nabla F(x))z = F(x)$$

Conclusion

Flot de Newton relaxé
$$\frac{dx}{dt} = -z$$

$$\epsilon \frac{dz}{dt} = F(x) - \nabla F(x)z$$

Theorem

Si F est C^2 dans un vois. de la solution x^* of F(x) = 0, alors $(x^*, 0)$ est asymptiquement stable $\forall \epsilon > 0$.

1- W opt. méthode 1
$$\epsilon \frac{dz}{dt} = F(x^k) - \frac{F(x^k + \tau z) - F(x^k)}{\tau}$$
 calculer z^k approx. de 1'état stationnaire de
$$z(0) = z^{k-1}.$$
 2- W opt. méthode 2 calculer x^{k+1} depuis x^k par $x^{k+1} = x^k + \alpha_k z_k$

Conclusion

Étape 1- avec minimisation du type Cauchy Étape 2 - avec la méthode spectrale globalisée (Raydan) calculer x^{k+1} depuis x^k Applications : racines matrice, NSE

Equations de Navier-Stokes 2D incompressibles (C-Raydan (ETNA, 2009)

Variables primitives

$$-\frac{1}{\mathrm{Re}}\Delta U + (U \cdot \nabla U) + \nabla P = f \text{ in } \Omega =]0,1[^2,$$

$$\nabla \cdot U = 0, \text{ dans } \Omega =]0,1[^2,$$

$$U = g, \text{ sur } \partial \Omega.$$
(1)

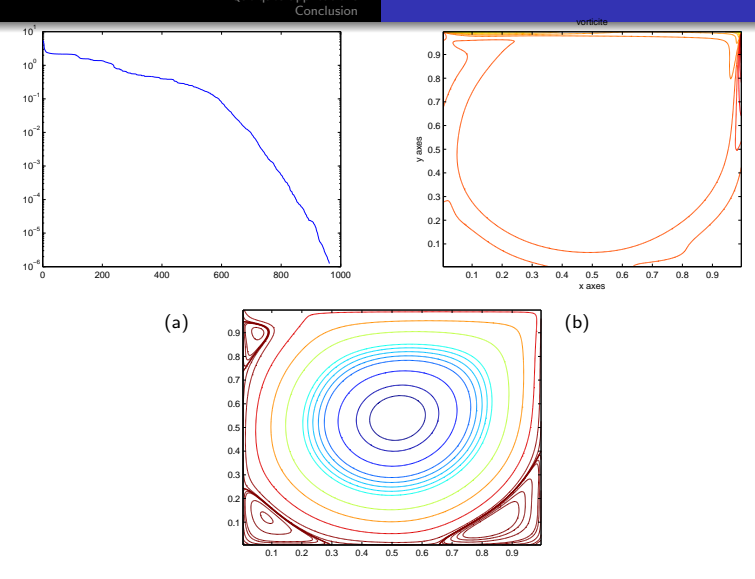
Here U = (u, v) est le champ de vitesse, P la pression

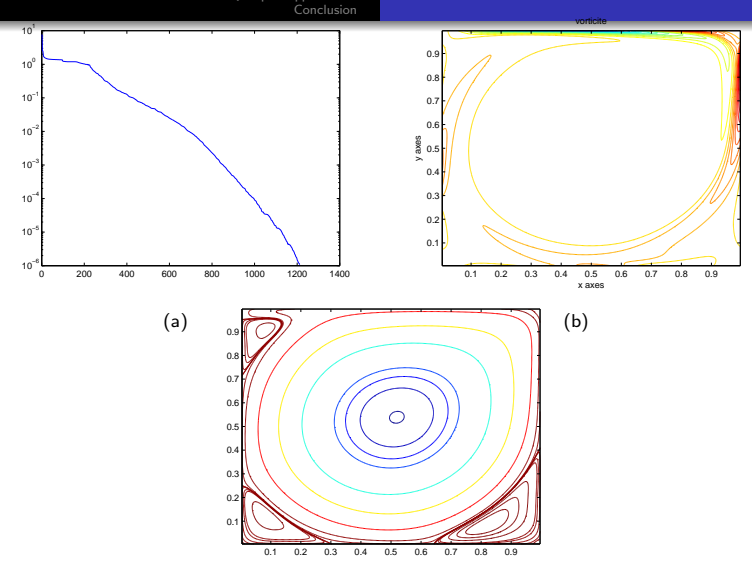
• formulation $\omega - \psi$

$$\begin{split} &-\frac{1}{Re}\Delta\omega+\frac{\partial\psi}{\partial y}\frac{\partial\omega}{\partial x}-\frac{\partial\psi}{\partial x}\frac{\partial\omega}{\partial y}=0 &&\text{in }\Omega=]0,1[^2\\ \Delta\psi=\omega &&\text{in }\Omega=]0,1[^2\\ \psi=0 &&\text{on }\partial\Omega \end{split}$$

ici
$$\omega = \frac{\partial u}{\partial v} - \frac{\partial v}{\partial x}$$
 et $u = \frac{\partial \psi}{\partial v}$, $v = -\frac{\partial \psi}{\partial x}$ donc $\Delta \psi = \omega$.

Newton pour NSE : C.-H. Bruneau-C. Jouron (JCP, 89'), Ghia-Ghia (JCP, 1982, $\omega-\psi$)





$$ullet$$
 Inverse d'une matrice $X_{k+1}=2X_k-X_kAX_k$ avec $X_0=rac{A}{\parallel A\parallel_F^2}$

ou bien Euler explicite à
$$\frac{dX}{dt} = X(I - AX)$$
, avec $\Delta t = 1$.

$$ullet$$
 Inverse d'une matrice $X_{k+1}=2X_k-X_kAX_k$ avec $X_0=rac{A}{\parallel A\parallel_F^2}$

ou bien Euler explicite à
$$\frac{dX}{dt} = X(I - AX)$$
, avec $\Delta t = 1$.

• Racine carrée d'une matrice

Résoudre en
$$S_k: X_k S_k + S_k X_k = -(X_k^2 - A)$$
, puis poser $X_{k+1} = X_k + S_k$.

$$ullet$$
 Inverse d'une matrice $X_{k+1}=2X_k-X_kAX_k$ avec $X_0=rac{A}{\parallel A\parallel_F^2}$

Sommaire

ou bien Euler explicite à
$$\frac{dX}{dt}=X(I-AX), \text{ avec } \Delta t=1.$$

• Racine carrée d'une matrice

Résoudre en
$$S_k: X_k S_k + S_k X_k = -(X_k^2 - A)$$
, puis poser $X_{k+1} = X_k + S_k$.

• Signe d'une matrice
$$S = signe(A) = A(A^2)^{-1/2}$$

Newton-Schultz
$$X_{k+1} = \frac{1}{2}X_k(3I - X_k^2)$$

• Inverse d'une matrice
$$X_{k+1} = 2X_k - X_k A X_k$$
 avec $X_0 = \frac{A}{\parallel A \parallel_F^2}$

ou bien Euler explicite à
$$\frac{dX}{dt} = X(I - AX)$$
, avec $\Delta t = 1$.

Racine carrée d'une matrice

Résoudre en
$$S_k: X_k S_k + S_k X_k = -(X_k^2 - A)$$
, puis poser $X_{k+1} = X_k + S_k$.

• Signe d'une matrice $S = signe(A) = A(A^2)^{-1/2}$

Newton-Schultz
$$X_{k+1} = \frac{1}{2}X_k(3I - X_k^2)$$

• Riccati matricielle $C + XA + A^TX - XBX = 0$, méthode de Kleinman (1968)

Etant donné
$$X_0 \in \mathbb{R}^{n \times n}$$

tel que $X_0 = X_0^T$ et $A - BX_0$ stable

Pour
$$k = 0, \cdots$$

Poser
$$A_k = A - BX_k$$

Résoudre
$$\mathcal{A}_k^{\mathsf{T}} X_{k+1} + X_{k+1} \mathcal{A}_k = -C - X_k \mathsf{B} X_k$$

version Newton inexacte : F. Feitzinger, T. Hylla and E. W. Sachs, SIAM

Pararéel : méthode de tir multiple (Gander-Vandewalle 2007)

Pour résoudre le problème de Cauchy

$$\dot{u}(t) = f(u), [0, T] = \bigcup_{n=0}^{N-1} [T_n, T_{n+1}], u(0) = u_0$$
 se réécrit

$$\begin{cases} \dot{u}_{0}(t) = f(u_{0}), & u_{0}(0) = \mathbf{U}_{0} & (0, T_{1}) \\ \dot{u}_{1}(t) = f(u_{1}), & u_{1}(T_{1}) = \mathbf{U}_{1} & (T_{1}, T_{2}) \\ \vdots & \vdots & \vdots & \vdots \\ \dot{u}_{N-1}(t) = f(u_{N-1}), & u_{N-1}(T_{N-1}) = \mathbf{U}_{N-1} & (T_{N-1}, T_{N}) \end{cases}$$

avec $\mathbf{U}_0 - u_0 = 0$, $\mathbf{U}_1 - u_0(T_1, U_0) = 0$, \cdots , $\mathbf{U}_N - u_{N-1}(T, U_{N-1}) = 0$ C'est un système de N+1 équations à N+1 inconnues $(\mathbf{U}_0, \mathbf{U}_1, \cdots \mathbf{U}_N)^T$ sous la forme F(U) = 0 qu'on résout par Newton

$$U^{k+1} = U^k - J_F^{-1} F(U^k)$$

suite

$$\begin{cases} U_0^{k+1} &= u_0 \\ U_{n+1}^k + 1 &= u_n(T_{n+1}, U_n^k) + \frac{\partial u_n}{\partial U_n}(T_{n+1}, U_n^k)(U_n^{k+1} - U_n^k) \\ &= F(T_{n+1}, T_n, U_n^k) + \underbrace{G(T_{n+1}, T_n, U_n^{k+1}) - G(T_{n+1}, T_n, U_n^k)}_{A \cap A_n \cap A$$

Newton presque partout

- Robustesse et convergence superlinéaire (protopype)
- Newton: "méthode mère", à l'origine de nombreux développements algorithmiques

Dans d'autres domaines

• En dynamique complexe, les itérations

$$z\mapsto z-\frac{P(z)}{P'(z)}$$

où P polynôme

- Polynômes (factorisation, méthode de Bairstow), calcul des racines
- En algèbre (cf. A. Chambert-Loir)

